## PCR ダブルエレメント工法における推進力に関する考察

近畿日本鉄道(株) 正会員 大野 降 (株)大林組 正会員 堀ノ内 講一 (株)大林組 正会員 上月 健司 (株)大林組 正会員○和田 健次 日本ケーモー工事(株) 正会員 丸山 芳之

#### 1. はじめに

奈良県農免農道整備事業に伴う、近畿日本鉄道(株)吉野線薬水~福神間の盛土部との立体交差(延長 L=14.1m、 土被り厚 H=4.2m) において、非開削工法として PCR (Prestressed Concrete Roof Method) ダブルエレメント工法 を採用した。本報文は、実施工時に計測した推進力を元に、その発生機構ならびに算定方法に対する考察を示すも のである。

#### 2. PCR ダブルエレメント工法の概要

本工法は、先行して2本並列に掘削・推進した角形鋼管(1,100 ×1,100mm) の後方より、プレテンション方式 PC 桁 (ダブルエレ メント桁、1,100×2,200mm)を置換推進した後、頂版、側壁、底 版の部材毎、PC 鋼線による横締・緊張することにより一体化を 図り、ボックスカルバートを構築する工法である(図-1)。

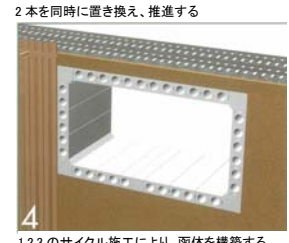
## 3. 従来の推進力算定方法

本工法は、従来のシングルエレメントによる PCR 工法に比べ、 置換推進回数の減少により軌道に与える影響を低減でき、またエ レメント数の減少により構造物の信頼性が向上し、さらには構造 物の出来形精度の向上が図れるなどのメリットがある反面、置換



先行して角形鋼管を並列に掘削・推進する





角形鋼管後方にダブルエレメントを接続し、鋼管

ダブルエレメント置換推進完了。引続き角形鋼 1.2.3 のサイクル施工により、函体を構築する 管を並列に掘削・推進する

図-1 PCR 工法推進施工サイクル概要図

推進時の推力が増大する可能性がある。従来工法であるシングルエレメント工法における必要推進力については、 次式にて算定される。 表-1 Q, および μ<sub>0</sub>値

 $F: (必要推進力) = P_1 + P_2 \cdot \cdot \cdot 式(1)$ 

 $P_1: (エレメントの先端抵抗力) = S \cdot Q_r$  (kN)

 $P_2: (エレメントの摩擦抵抗力) = \mu_0 \cdot P_m \cdot S \cdot L (kN)$ 

S:エレメント外周長(m)、 $Q_r$ :エレメント先端単位長さ当り抵抗力 (kN/m)  $\mu_0$ :エレメント外周の摩擦係数、Pm:エレメント外周平均土圧 $(kN/m^2)$ 、L:エレメント推進長(m)

シルト質粘土 砂質シルト 砂礫 ローム  $Q_r(kN/m)$ 40~90 50~100 50~150 100~150 50~100 0.4 0.4 0.4 0.4 5.0~10.0 10.0~20.0

「箱形トンネル形式 計画・施工の手引き (URT 協会発行)」より

式(1)では、推進力を①先端抵抗力および②摩擦抵抗力としている。しかしながら実際は、頂版、側壁、底版の施 工部位毎に作用土圧は異なり、並列管との継手ジョイント部の抵抗力も同時に発生している。そこで、推進力を決 定する成分のうち、摩擦抵抗力にあたる成分をさらに詳細に分割し、実施工により得られた推進力に対する検証を 実施することとした。なお、当該施工部の土質性状は「礫混じり中細砂」であった。

#### 4. 実測結果に基づく推進力算定方法の検討

推進力の算定式として式(1)右辺第2項(P<sub>2</sub>:摩擦抵抗力)を上面、側面、底面の周面摩擦抵抗力、ならびに継手 ジョイント部の摩擦抵抗力の成分に分割し、さらにエレメント置換時において作用する施工時荷重を固定値と考え、 下式による定式化を実施し、実測値に対する回帰分析によるパラメータの同定を実施した。

F: (必要推進力) =  $P_1$  +  $P_{2-1}$  +  $P_{2-2}$  +  $P_{2-3}$  +  $P_{2-1}$  +  $P_{2-r}$  (kN)・・式(2)

 $P_1$ : (エレメントの先端抵抗力) =  $S \cdot Q_r$  (kN)  $P_{2-1}$ : (上面摩擦抵抗力) =  $\mu_1 \cdot \gamma \cdot H_1 \cdot A_2$  (kN)

 $P_{2-2}$ : (側面摩擦抵抗力) =  $\mu_1 \cdot K_0 \cdot \gamma \cdot H_1 \cdot A_3$  (kN)  $P_{2-3}$ : (底面摩擦抵抗力) =  $\mu_1$ · ( $\gamma \cdot H + W$ ) ·  $A_4$  (kN)

P<sub>2-r</sub>: (エレメント置換抵抗力)(kN)  $P_{2-i}$ : (ジョイント抵抗力) = fj・L (kN)

S:エレメント外周長(m)、Q:エレメント先端単位長さ当り抵抗力 (kN/m)、 $\mu_1$ :エレメント外周の摩擦係数、W:単位長さ当り管重量(kN/m)L:エレメント推進長(m)、H:有効土被り高(m)、 $A_n$ :接面積(m²)、 $K_0$ :静止側圧係数、 $f_j$ :単位長さ当りジョイント抵抗力(kN/m)

キーワード PCR ダブルエレメント工法、推進力算定式、回帰分析

〒540-8584 大阪市中央区北浜東 4 番 33 号 (株) 大林組 TEL06-6946-4488 連絡先

計測データの整理に当たっては、各要素の推進抵抗力の条件が異なるため、タイプ別(角形鋼管推進・エレメント置換推進の区別、および頂版・側壁・底版の施工部位、並列管とのジョイントの有無)に分類し( $\mathbf{Z}-\mathbf{2}$ )、式(2)に対する回帰分析を実施した。なお、式(2)については、推進長  $L(\mathbf{m})$  を変数とした線形式となる。

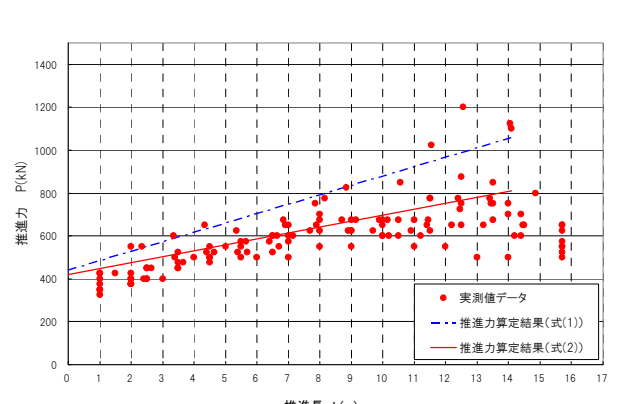
表-2 に各パラメータの同定結果一覧を示す。また、図-3~4 に推進力実測値、ならびに式(1)、(2)を用いた算定結果の比較を示す。図に示す通り、式(2)を適用した場合、ほぼ実測値に対するフィッティングが可能であると判断できる

表-2 パラメータ同定結果

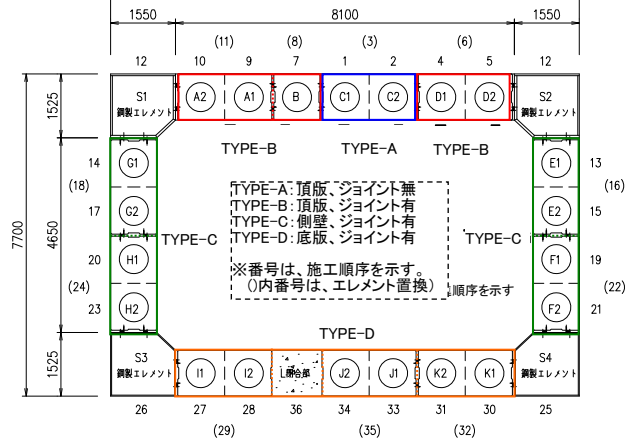
	単位	角形鋼管推進時			エレメント置換推進時		
		頂版	側壁	底版	頂版	側壁	底版
$Q_{\rm r}$	(kN/m)	96. 1	95. 2	55. 7	_		_
$\mu_1$	-	0.09					
fj	(kN/m)	11.9					
$H_{\! m L}$	(m)	4.2	3.3	5.4	4.2	3.3	3.8
$P_{\rm r}$	(kN)	_	_	_	949	117	949
$H_0^{**1}$	(m)	4.2	5.7~9.3	10.8	4.2	5.7~9.3	10.8
$H_{t}^{(*2)}$	(m)	1.7	2.1	2. 1	2.4	2. 1	4.0

※1) H<sub>0</sub>:角形鋼管、エレメントまでの土被り高さ(m)

※2) H: Terzaghi の緩み土圧式から算出される緩み高さ(m)



推進長 L(m)
図-3 推進力比較グラフ(側壁 角形鋼管推進時)



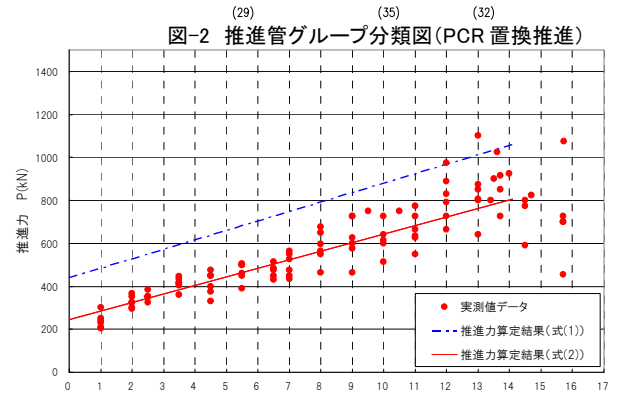


図-4 推進力比較グラフ(底版 角形鋼管推進時)

# 5. 結果総括

- ① 先端抵抗力  $P_1$  より求まるエレメント先端の単位長さ当り抵抗力  $Q_r$  は、55.7~96.1(kN/m)となり、**表-1** に示す中細砂に対する数値幅内 50~150(kN/m)となった。
- ② 摩擦係数は $\mu_1$ =0.09となり、**表-1**の $\mu_0$ =0.4と比較すると25%程度の数値となった。
- ③ 単位長さ当りジョイント抵抗力  $f_j$ は 11.9 (kN/m) となり、エレメント置換時における総推力に対する比率は 10 ~ 27%程度と比較的小さい結果となった。
- ④ 頂版の有効土被り高 H<sub>1</sub>は、全土被り高 H<sub>2</sub>とほぼ同値となり、また側壁、底版に関しては、上部エレメントの先受け効果により、全土被り高より小さい数値となった。
- ⑤ 有効土被り高  $H_c$ は Terzaghi の緩み土圧式から算定される緩み高さ  $H_c$ ( $=\sigma_v$ (緩み土圧)/ $\gamma$ )に対して、側壁ならびに底版に関しては同等、もしくはそれ以上の数値となった。これは、連続した推進置換により、緩み範囲が増大したことに起因すると考えられる。
- ⑥ 施工時荷重となるエレメント置換抵抗力  $P_r$ は、側壁と比較して頂版、底版において大きな値となった。これは 側壁部においてはジョイントが上面に位置するのに対し、頂版、底版ではジョイントが横面片側にあるため、 角形鋼管推進時にローリングにより生じた施工誤差が大きく、エレメントと角形鋼管の外寸法・形状に差異が 生じたことが要因であると考えられる。

## 6. おわりに

本工事は、PCR ダブルエレメント工法として国内 2 例目、関西地区初の施工であった。今後、同様の計測ならびに定量的評価の実施により、精度の高い推進力算定式の設定が可能となると考える。